

# بررسی تغییرات بافت‌های خونی بر اثر افزایش پرتوگیری افراد در فضا

امیر موافقی<sup>۱\*</sup>، عفت یاحقی<sup>۲</sup> و نورالدین محمدزاده<sup>۳</sup>

۱- پژوهشگاه علوم و فنون هسته‌ای، سازمان انرژی اتمی ایران

۲- گروه فیزیک، دانشگاه بین‌المللی امام خمینی قزوین

\* تهران، انتهای کارگر شمالی

amovafeghi@aeoi.org.ir

اشعه‌های کیهانی در فضا می‌توانند منجر به بروز سرطان خون و بیماری‌های دیگر در فضانوردان شوند. تغییرات میکروگرانشی وزن سلول‌ها بر فعالیت خونسازی و سیستم ایمنی بدن تاثیر دارد. هرچند تغییر فعالیت ارگانیسم بدن در افراد تصادفی است ولی با مدل‌های خاصی قابل بررسی و شبیه‌سازی است. مدل‌های مختلف زیادی وجود دارند که تغییرات خونسازی در مغز استخوان بر اثر تغییر میکروگرانشی را شبیه‌سازی می‌کنند. در این تحقیق با استفاده از کد نوشته شده برای محاسبه در جذبی در بافت‌های خون و لوف بر اثر پرتوهای کیهانی، کاهش سلامتی سلول‌های خونی و لطفی در فضا نشان داده است. شبیه‌سازی برای بررسی اثر انواع ذرهای ورودی به بدن با مقادیر و زمان‌های اعمال مختلف و برای حالت‌های بدن تاثیر تولید و بازسازی سلولی و تغییرات میکروگرانشی و با در نظر گرفتن آن‌ها بررسی شده است. نتایج نشان می‌دهند که تاثیر تولید و بازسازی سلولی و تغییرات میکروگرانشی می‌توانند تا حدود صدم درصد در بهبود یا کاهش سلول‌های سالم موثر باشند و در دراز مدت به کم خونی و سرطان خون منجر شوند.

**واژه‌های کلیدی:** تشعشعات فضایی، پرتوهای کیهانی، بافت خونی بدن، تغییر میکروگرانشی

## مقدمه

یکی از خطرات بالقوه برای فضانوردان قرار گرفتن آنها در معرض اشعه‌های کیهانی است که به سرطان خون و بیماری‌های دیگر منجر می‌شود. در فضا به علت تغییرات میکروگرانشی وزن سلول‌ها، فعالیت خونسازی و سیستم ایمنی بدن تغییر می‌کند. این تغییرات تصادفی با مدل‌های مختلف شبیه‌سازی می‌شوند. جونز<sup>۱</sup> و همکارانش از مدل‌های چندبخشی برای محاسبه تعداد سلول‌های بازسازی شده و آسیب‌دیده بر اثر تابش‌های مختلف استفاده کرده‌اند [۱-۳].

در تشعشعات فضایی پرتوها و ذرات یون‌ساز مختلف وجود دارند. در شکل (۱) ترکیب این تشعشعات نشان داده شده است. همان‌طور که

## علائم و اختصارات

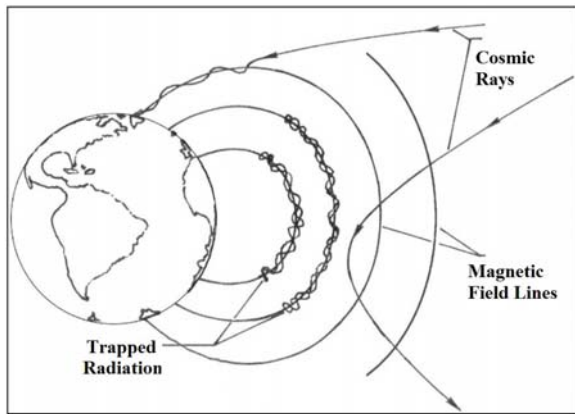
|                |  |
|----------------|--|
| $\lambda_{IK}$ | ضریب آسیب سلول‌های آسیب‌دیده                 |
| $\lambda_{NN}$ | آهنگ بازسازی سلول‌های آسیب‌دیده              |
| D              | دز یکنواخت رسیده به مغز استخوان              |
| $F_{NN}$       | فاکتور دینامیکی نرخ تولید سلول‌های نرم‌مال   |
| $F_{IN}$       | فاکتور دینامیکی نرخ بازسازی سلول‌های نرم‌مال |
| n              | تعداد سلول‌ها                                |
| $\lambda_{NI}$ | ضریب آسیب سلول‌های نرم‌مال                   |

۱. استادیار (نویسنده مخاطب)

۲. استادیار

۳. مری

مغز استخوان از دز تابشی  $EPD^{\circ}$  (معادل دزی از پرتو که موجب آسیب‌دیدگی هر قسمت مشخص از بدن مانند بافت سلول‌های مغز استخوان می‌شود) استفاده می‌شود [۱۶-۸].



شکل ۲- دفع و به دام افتدان ذرات باردار توسط میدان مغناطیسی کره زمین [۴]

## روش‌ها

در تحقیقات پزشکی و مطالعات فیزیولوژیکی، همچنین در حل برخی مسائل که می‌توان سیستم موردنظر را به صورت چند بخش جداگانه در نظر گرفت، مدل چندبخشی یکی از مدل‌های پرکاربرد است. در یک مدل چندبخشی، ضمن اینکه بخش‌ها با یکدیگر و در صورت امکان با محیط، از طریق تبادل ماده در ارتباط هستند، بخش‌ها به صورت همگن در نظر گرفته می‌شوند [۱۵].

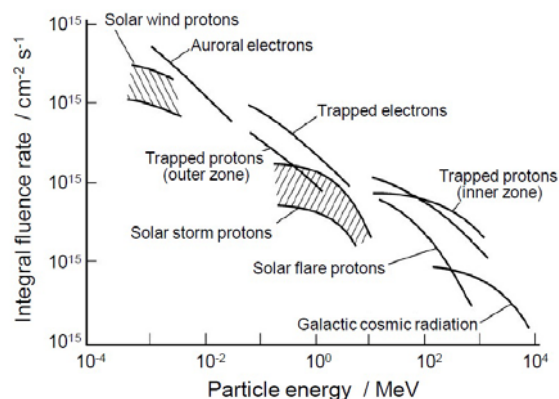
با توجه به اینکه تبادل جرم بین بخش‌های مختلف از قوانین پایستگی پیروی می‌کند، امکان توصیف ریاضی سیستم نیز وجود دارد. یک مدل چندبخشی را می‌توان با استفاده از یک دستگاه معادلات دیفرانسیل توصیف کرد، که هر معادله مربوط به یکی از بخش‌های مدل خواهد بود.

در شکل (۳) مدل چند بخشی عملکرد سیستم بافت استخوانی سازنده خون بر اثر تابش اشعه کیهانی نشان داده شده است. بلوک‌های کوچک شکل، نماینده سلول‌ها هستند که شامل سلول‌های نرمال تکثیر سلولی شده ( $n_N$ )، سلول‌های آسیب‌دیده بر اثر تابش ( $n_I$ ) و سلول‌های کشته شده ( $n_K$ ) هستند. در طی فرآیند عملکرد اشعه روی بافت استخوانی سازنده خون، سلول‌های سالم آسیب دیده یا می‌برند. همچنین در فرآیند تولید سلول‌های جدید سالم به وسیله مغز استخوان و نیز بازسازی سلول‌های آسیب‌دیده، مقداری به سلول‌های سالم اضافه می‌شود.

معادلات چند بخشی عملکرد سیستم در روابط (۱) آورده شده است. در این روابط برای محاسبه تعداد سلول‌ها در هر بخش از یک

در شکل مشاهده می‌شود سه منبع اولیه برای تشعشعات وجود دارد: الف- منظومه شمسی با مرکزیت خورشید که با بادهای خورشیدی منبع پیوسته و دائمی از تشعشعات به شمار می‌رود. ب- پخش پالس‌های بزرگ ذرات باردار به صورت تصادفی توسط خورشید و ج- کمرندهای تشعشعی اطراف زمین و سایر سیارات که تحت تاثیر میدان‌های مغناطیسی بوجود می‌آیند. شکل (۲) دفع و بهدام افتدان ذرات باردار را توسط میدان مغناطیسی کره زمین نشان می‌دهد.

این تشعشعات هم بر حسب مکان و هم بر حسب زمان متغیر هستند. اثرات این تشعشعات به وسیله کمیته بین‌المللی حفاظت در برابر اشعه، ICRP، بررسی شده است [۴]. بسیاری از این تشعشعات از جمله اشعه‌های گاما و پروتون به تدریج تراکم توده اسنجی استخوان را کاهش دهد و بر بافت خونی نیز تأثیر می‌گذارند. همچنین خطر ابتلا به سرطان بر اثر تابش این اشعه‌ها نیز وجود دارد [۵-۷].



شکل ۱- ترکیب تشعشعات فضایی [۴]

محافظت فضانوردان در مأموریت‌های فضایی در مقابل تشعشعات بر اساس آزمایش‌هایی که روی زمین انجام می‌گیرد بررسی می‌شود. در این آزمایش‌ها برای تعیین میزان خطرات مأموریت فضایی از حیوانات و مدل‌های بیوفیزیکی مانند مدل چند بخشی استفاده می‌شود.

در مدل بیوفیزیکی برای تخمین این محدوده‌ها با دقت تمام شبیه‌سازی تشعشعات انجام و اثر آن استنتاج می‌شود [۱۱-۸]. بعضی از آزمایش‌ها و تجربیات برای نمایش موضوعاتی در مورد اثر تشعشعات در بی‌وزنی است و نتایج نشان می‌دهند که بی‌وزنی شدت اثر این تشعشعات را بیشتر می‌کند و قرار گرفتن طلائی مدت در حالت بی‌وزنی موجب اختلال در سیستم‌های ایمنی بدن می‌شود. همچنین عمل خون‌سازی توسط سلول‌های مغز استخوان نیز کاهش می‌یابد. در بررسی اثر تشعشعات در حالت بی‌وزنی روی سلول‌های خون‌ساز

قسمت‌ها کسر سلول‌های زنده مانده استخوانی بر اثر تابش کیهانی  
چنین به دست می‌آید [۸]:

$$S(D, \lambda_{NI}, \lambda_{IK}, \lambda_{NK}) = \frac{(\lambda_{NI}e^{-\lambda_{IK}D} - (\lambda_{IK} - \lambda_{NK})e^{-(\lambda_{NI} + \lambda_{NK})D})}{\lambda_{NI} - \lambda_{IK} - \lambda_{NK}} \quad (4)$$

در این معادله  $\lambda_{NN}$  متغیر فرض شده و اثر تغییرات میکروگرانشی به این ترتیب لحاظ شده است [۵]:

$$\lambda_{NN} = \lambda_{NN}(0)e^{-t/\tau} \quad (5)$$

آزمایش‌های تغییرات در بازسازی سلول‌ها در زمین و فضا نشان می‌دهند که تغییرات در بازسازی سلول‌ها در فضا نسبت به زمین بین ۵۷ تا ۸۴ درصد در طول ۲ هفته است در نتیجه می‌توان  $\lambda_{NN}$  را از معادله (۵) محاسبه کرد. تغییرات میکروگرانشی حدود ۱ تا ۱۴ درصد روی دانسیتۀ مواد استخوانی مانند کلسیم و موادمعدنی آن در مدت یک ماه، تأثیر دارند. در معادله‌های بالا در ناشی از اثر اشعه‌های تابش شامل دو قسمت اشعه‌های کیهانی و ذرات خورشیدی هستند که به صورت ترکیبی در نظر گرفته شده است.

برای حل دستگاه معادلات از روش تحلیلی و عددی استفاده شده است. نرم‌افزار مورد استفاده متلب ۲۰۰۷ ویرایش ۷.۱۱ بوده که قابلیت‌های گرافیکی و محاسباتی مناسبی دارد. همان‌طور که در بخش قبل ذکر شد بهترین مدل برای بررسی بافت خونی بدن، مدل سه بخشی است. برای حل این دستگاه معادلات می‌توان از برنامه‌نویسی با نرم‌افزار استفاده کرد.

حل عددی دستگاه معادلات برای محاسبه کسر سلول‌های نجات‌یافته با روش تحلیلی مشکل است و برای این مسئله از روش عددی استفاده شده است. یکی از روش‌های عددی مفید برای حل دستگاه معادلات دیفرانسیل روش رانگ کوتاست<sup>۷</sup> که با در نظر گرفتن شرایط اولیه خاص به حل معادلات می‌پردازد [۱۶]. در روش اویلر که خطای از مرتبۀ محدود طول گام است، با افزایش طول گام و افزایش بازۀ مورد بررسی خطای قابل ملاحظه‌ای در محاسبات ایجاد می‌شود؛ اما در روش رانگ کوتا خطای از مرتبۀ توان چهارم طول گام است. در اینجا با استفاده از روش رانگ کوتا مرتبه چهار، الگوریتم با نرم‌افزار متلب اجرای شده و دستگاه معادلات حاکم بر مدل دوبخشی شده است.

## نتایج

برای بررسی اثر دز تابشی، معادلات (۱) برای دو حالت تابش فضایی بدون در نظر گرفتن تغییرات گرانشی و با احتساب آن حل شده و کسر نجات‌یافته برای این سلول‌های اولیه که ۱۰۰۰ سلول فرض

7. Runge-Kutta

رابطه دیفرانسیلی استفاده شده است که با دز تابش و آهنگ تغییرات بازسازی و تولید سلولی و ضرایب تبدیل سلول‌ها به صورت‌های سالم، آسیب‌دیده و کشته شده متناسب است.

رابطه دیفرانسیلی بین  $n_N$  و  $n_I$  به صورت معادلات (۱) است [۸]:

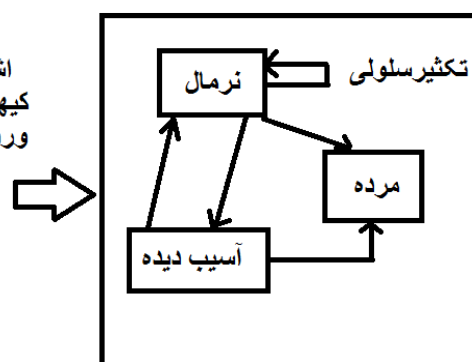
$$\begin{aligned} \frac{dn_N}{dt} &= -\lambda_{NI} \frac{dD}{dt} n_N - \lambda_{NK} \frac{dD}{dt} n_N + \lambda_{IN} F_{IN} n_I \dots \quad (1) \\ &\quad + \lambda_{NN} M_{NN} n_N \\ \frac{dn_I}{dt} &= -\lambda_{IK} \frac{dD}{dt} n_I - \lambda_{IN} F_{IN} n_I + \lambda_{NI} \frac{dD}{dt} n_I \\ \frac{dn_k}{dt} &= +\lambda_{NK} \frac{dD}{dt} n_N + \lambda_{IK} \frac{dD}{dt} n_I \end{aligned}$$

در این معادلات اندیس‌های  $N$ ،  $I$  و  $k$  به ترتیب مربوط به سلول‌های نرمال، کشته شده و آسیب‌دیده هستند.  $\lambda_{NI}$  ضریب آسیب سلول‌های نرمال بر حسب سانتی‌گری،  $\lambda_{NK}$  ضریب مرگ سلول‌های نرمال بر حسب سانتی‌گری،  $\lambda_{IK}$  ضریب مرگ سلول‌های آسیب‌دیده بر حسب سانتی‌گری،  $\lambda_{IN}$  آهنگ بازسازی سلول‌های سالم و  $D$  دز یکنواخت رسیده دیده،  $\lambda_{NN}$  آهنگ ساخت سلول‌های سالم و  $F_{IN}$  فاکتورهای دینامیکی بیان کننده نرخ تولید و بازسازی سلول‌های نرمال در هر مرحله از زمان هستند و چنین بیان می‌شوند [۸]:

$$\begin{aligned} F_{IN} &= 1 + \frac{n_0 - n_N - n_I}{n_0} \\ F_{NN} &= 1 + \frac{n_0 - n_N - n_I}{n_0} \quad (2) \end{aligned}$$

شرایط اولیه در این معادله قبل از تابش عبارتند از:

$$n_N = n_I = 0, n_k = 0 \quad (3)$$

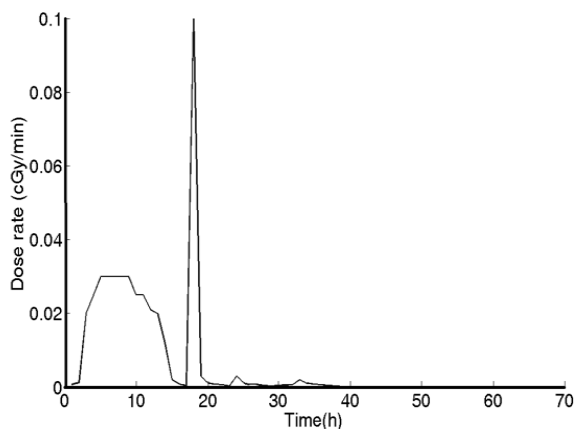


شکل ۳- عملکرد سیستم بافت استخوانی سازنده خون بر اثر تابش اشعه کیهانی

با توجه به اینکه در فرآیند تأثیر اشعه بر بافت استخوانی و عملکرد تولید و بازسازی سلولی توسط آن، سلول‌های آسیب‌دیده، بازسازی شده یا از بین می‌روند. با در نظر گرفتن ضرایب بین این

در مرحله اول با تغییر نوع دز ورودی به بافت استخوانی و خونی و بدون درنظرگرفتن اثر بازسازی و تولید سلولی و تغییرات میکروگرانشی درصد سلول‌های نجات یافته برای ۱۰۰۰۰ سلول به دست آمد. دز ورودی‌های بافت استخوانی و لف به صورت آنی یا ضربه‌ای با دامنه ۰/۱ و ۱ سانتی‌گردی،تابع مربعی با بازه زمانی ۱۰ ساعت و یک تابع واقعی (که در آگوست سال ۱۹۷۲ تهیه شده است [۸]) درنظرگرفته شده است.

تغییرات دز این تابع بر حسب زمان در شکل (۶) نشان داده شده است. مشاهده می‌شود که تابع تغییرات دز بر حسب زمان در این شکل تابع ریاضی ندارد و تغییرات آن با زمان دارای چندین افت و خیز است. برای درنظرگرفتن این ورودی‌ها به عنوان تابع تغییرات دز ورودی در روابط (۱) لازم است از روش‌های عددی استفاده شود و روش تحلیلی جوابگو نیست در اینجا از روش رانگ کوتای مرتبه ۴ استفاده شده است.



شکل ۶- تغییرات دز تابع واقعی بر حسب زمان

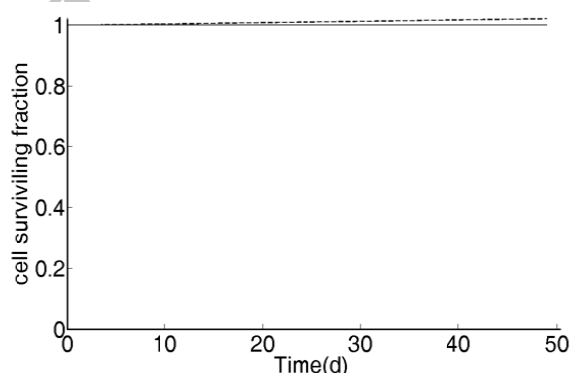
در جدول (۱) نتایج حاصل از شبیه‌سازی برای انواع دزهای ورودی (با دامنه و زمان‌های مختلف اعمال دز) بدون درنظرگرفتن اثر تولید و بازسازی سلولی نشان داده شده است. برای مقایسه بهتر، نتایج در شکل (۷) نیز نشان داده شده‌اند.

**جدول ۱**- درصد سلول‌های نجات یافته برای ۱۰۰۰۰ سلول برای تغییر نوع دز ورودی به بافت استخوانی و خونی و بدون درنظرگرفتن اثر بازسازی و تولید سلولی

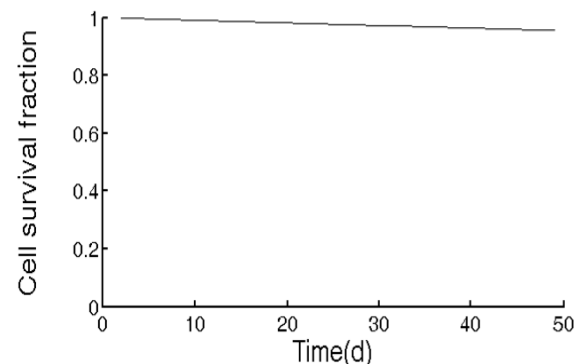
| درصد سلول‌های نجات یافته | نوع ورودی                        |
|--------------------------|----------------------------------|
| ۹۹/۸۴                    | آنی یا پالسی ۰/۱ cGy             |
| ۹۹/۸۶                    | مربعی ۰/۰۱ cGy با بازه ۰-۱۰ ساعت |
| ۹۸/۴۱                    | آنی یا پالسی ۱ cGy               |
| ۹۸/۵۷                    | مربعی ۰/۱ cGy با بازه ۰-۱۰ ساعت  |
| ۹۹/۳۳                    | تابع واقعی                       |

شده‌اند، محاسبه شد. در این محاسبات  $\lambda_{NI}=6/57 \times 10^{-3}$  و  $\lambda_{IN}=3/85 \times 10^{-3}$ ،  $\lambda_{KN}=9/43 \times 10^{-3}$  و  $\lambda_{IK}=7/08 \times 10^{-2}$ ،  $\lambda_{NN}=2/2 \times 10^{-4}$  مطابق با مرجع [۹] درنظرگرفته شده است. در شکل (۴) نتایج خروجی برای کسر نجات یافته بر حسب زمان نشان داده و برای ارزیابی خروجی مدل با نتایج اسپوسیتو<sup>۸</sup> و همکارانش مقایسه شده‌است. تفاوت داده‌ها و خروجی برای دز ۰/۰۱ سانتی‌گردی حدود ۱/۰ درصد است.

در شکل (۵) تابع کسر سلول‌های نجات یافته برای تغییرات آهنگ ساخت سلول‌های سالم با درنظرگرفتن اثر گرانشی تابع گرانشی متغیر مطابق معادله (۵) نشان داده شده است. در این شکل مشاهده می‌شود تغییرات میکروگرانش باعث کمتر شدن کسر سلول‌های نجات یافته شده که در حدود ۲/۲ درصد است. در ادامه اثر انواع دزهای ورودی با مقادیر و زمان‌های اعمال مختلف برای حالت‌های بدون تأثیر بازسازی سلولی و تغییرات میکروگرانشی و با درنظرگرفتن آنها بررسی شد.



شکل ۴- نتایج خروجی برای کسر سلول‌های نجات یافته به سلول‌های اولیه بر حسب زمان (خط ممتدا) و خروجی مدل اسپوسیتو و همکارانش (خط چمن)



شکل ۵- تابع کسر نجات یافته برای تغییرات آهنگ بازسازی سلول‌های سالم با درنظرگرفتن اثر گرانشی تابع گرانشی متغیر

نشان می‌دهد درصد سلول‌های نجات‌یافته در این حالت به علت تأثیر اثر میکروگرانشی کمتر شده است.

**جدول ۳**- درصد سلول‌های نجات‌یافته برای ۱۰۰۰۰ سلول برای تغییر نوع دز ورودی به بافت استخوانی و خونی و با درنظرگرفتن اثر بازسازی و تولید سلولی و تغییرات میکروگرانشی

| درصد سلول‌های نجات‌یافته | نوع ورودی                               |
|--------------------------|---|
| ۹۹/۹۰                    | آنی یا پالسی / ۰/۱ سانتی گری            |
| ۹۹/۹۱                    | مربعی / ۰/۱ سانتی گری با بازه ۰-۱۰ ساعت |
| ۹۹/۶۰                    | تابع واقعی                              |

برای مثال برای تابع مربعی  $0/0\cdot ۱$  سانتی گری که در بازه زمانی ۱۰ ساعت به بدن رسیده است، مقدار درصد سلول‌های نجات‌یافته با درنظرگرفتن اثر بازسازی و تولید سلولی و تغییرات میکروگرانشی  $۹۹/۹۱$  (جدول ۳) و بدون درنظرگرفتن اثر بازسازی و تولید سلولی و تغییرات میکروگرانشی  $۹۹/۸۶$  (جدول ۱) و فقط با درنظرگرفتن اثر بازسازی و تولید سلولی  $۹۹/۹۲$  (جدول ۲) است.

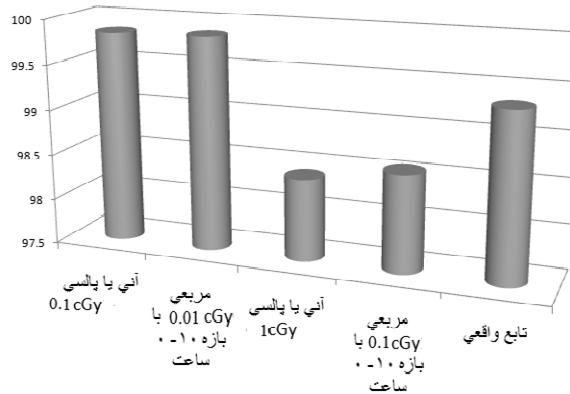
### نتیجه‌گیری

نتایج حاصل از شبیه‌سازی دز ناشی از اشعه‌های کیهانی و ذرات خورشیدی نشان می‌دهد که بازسازی سلولی باعث بهبود درصد سلول‌های نجات‌یافته شده و اثر تغییرات میکروگرانشی باعث کاهش آنها می‌شود. با درنظرگرفتن توابع مختلف برای تابع تغییرات میکروگرانشی می‌توان پیش‌بینی کرد که در سیارات و فضای کهکشانی مختلف در حد آسیب به سلول‌های سالم چقدر است و بر اساس آن احتمال کم‌خونی و سرطان خون را برای فضانوردان برحسب مدت اقامت در فضا بدست آورد. باید توجه کرد که علاوه بر مقدار دز تشعیعی، تغییرات زمانی تابع دز نیز در درصد سلول‌های نجات‌یافته تأثیر دارد و باید در بررسی‌های آسیب سلولی درنظر گرفته شود.

### مراجع

- [1] Liou, K. N., *An Introduction to Atmospheric Radiation*, Second Edition, Elsevier Science, 2002, pp. 40-47.
- [2] Grabham, P., “Project Title: Effects of Space Radiation Effects of Space Radiation on the Function of Human Brain Capillaries and the Blood-brain-barrier: Implications for Neurodegenerative Disorders on the Radiosensitivity of Man in Space,” *Peters*, 2012
- [3] Jones, T. D., Morris, M. D. and Young, R. W., “A Mathematical Model of Radiation-Induced Myelopoiesis,” *Radiat Res*, Vol. 128, No. 3, 1991, pp. 258-266.
- [4] ICRP, “Assessment of Radiation Exposure of Astronauts in Space,” *Draft Report for Consultation*, 2012, pp. 10-15.
- [5] “Space Faring: The Radiation Challenge, An

درصد سلول‌های نجات‌یافته



شکل ۷- درصد سلول‌های نجات‌یافته مربوط به جدول ۱

نتایج نشان می‌دهند دز ورودی و زمان تأثیر آن بر تعداد سلول‌های نجات‌یافته تأثیر دارد؛ برای مثال سلول‌های نجات‌یافته در دز اعمالی  $۰/۱$  سانتی گری نسبت به دز  $۰/۰۱$  سانتی گری درصد بیشتری دارند و همین‌طور زمان اعمال دز در تغییرات درصد سلول‌های نجات‌یافته مهم است. به طوری که دیده می‌شود برای تابع آنی یا پالسی  $۰/۱$  سانتی گری این مقدار  $۹۹/۸۴$  درصد و برای تابع مربعی  $۰/۰۱$  سانتی گری با بازه  $۰-۱۰$  ساعت برابر  $۹۹/۸۶$  درصد است یعنی درصد سلول‌های نجات‌یافته اندکی بیشتر شده است.

در مرحله بعد برای همین توابع ورودی اثر تابع بازسازی و تولید سلولی بدون درنظرگرفتن اثر تغییرات میکروگرانشی بررسی شد (جدول ۲). نتایج نشان می‌دهند درنظرگرفتن اثر تابع بازسازی و تولید سلولی در افزایش درصد سلول‌های نجات‌یافته اندکی تأثیر دارد. مقایسه جدول (۱) و (۲) نشان می‌دهد در تمام موارد اعمال دز یکسان، درصد سلول‌های نجات‌یافته بالا رفته است. برای مثال درصد سلول‌های نجات‌یافته برای تابع واقعی در جدول (۱)،  $۹۹/۳۳$  درصد و در جدول (۲) و با درنظرگرفتن اثر بازسازی و تولید سلولی درصد  $۹۹/۷۱$  است.

جدول ۲- درصد سلول‌های نجات‌یافته برای ۱۰۰۰۰ سلول برای تغییر نوع دز ورودی به بافت استخوانی و خونی و با درنظرگرفتن اثر بازسازی و تولید سلولی

| درصد سلول‌های نجات‌یافته | نوع ورودی                               |
|--------------------------|---|
| ۹۹/۹۱                    | آنی یا پالسی / ۰/۱ سانتی گری            |
| ۹۹/۹۲                    | مربعی / ۰/۱ سانتی گری با بازه ۰-۱۰ ساعت |
| ۹۹/۷۱                    | تابع واقعی                              |

در آخرین مرحله، نتایج حاصل برای درصد سلول‌های نجات‌یافته با درنظرگرفتن اثر تغییرات میکروگرانشی محاسبه و در جدول (۳) ثبت شده است. مقایسه نتایج حاصل از این جدول با دو جدول قبل

- [11] Yasuda, H., Yajima, K., Takada, M., Sato, and Nakamura, T. T., "Development of Cosmic Radiation and Energetic Particle Analyzing System: CREPAS," *Progress in Nuclear Science and Technology*, Vol. 1, 2011, pp.356-359.
- [12] "Human Space Biology at SCKCEN: From in Vitro CELL Experiments to the Follow up -of Astronauts" *Operational Office*: Boeretang 200, BE-2400 MOL – Scientific Report 2007, pp. 17-25.
- [13] Talbot, N. C., Caperna, Th. J., Blomberg, L., Graninger P. G. and Stodieck, L. S., "The Effects of Space Flight and Microgravity on the Growth and Differentiation of PICM-19 Pig Liver Stem Cells," *The Society for In Vitro Biology*, Vol. 46, No. 6, DOI 10.1007/s 11626-010-9302-6, 2010.
- [14] Heather, L., Nichols, N. Zh. and Xuejun, W., "Proteomics and Genomics of Microgravity," *Physiol Genomics*, Vol. 26, No. 3, 2006, pp. 163–171.
- [15] ICRP Annals of the ICRP, ICRP Publication 54, *Individual Monitoring for Intakes of Radionuclides, Workers: Design and Interpretation*, 1<sup>st</sup> Edition, Vol. 19/1-3, Pergamon Press, 1988, pp. 1-32.
- [16] Mathews, J. H. and Fink, K. K., *Numerical Method Using Matlab*, 4<sup>th</sup> Edition, 2004, pp. 489-496.
- [17] Nterdisciplinary Guide on Radiation and Human Space Flight," NASA, *EP-2008-08-120-MSFC*, 2008, pp. 21-438-446.
- [18] Esposito, R. D., Durante, M., Gialanella, G., Grossi, G., Pugliese, M., Scampoli, P. and Jones T. D. "A Model of Radiation-Induced Myelopoiesis in Space," *Physica Medica*, Vol. 17, No. 1, 2001, pp.181-182.
- [19] Wilson, J. W., Miller, J., Konradi, A. and Cucinotta, F. A., "Shielding Strategies for Human Space Exploration," *NASA Conference Publication 3360*, NSN 7540-01-280-5500, 1997.
- [20] Committee for Evaluation of Space Radiation Cancer Risk Model; National Research Council, "Technical Evaluation of the NASA Model for Cancer Risk to Astronauts Due to Space Radiation," *The National Academies Press*, Washington, DC., 2001.
- [21] Esposito, R. D., et al. "On the Radiosensitivity of Man in Space," *Advanced Space Research*, Vol. 27, No. 2, 2001, pp. 345-354.
- [22] Pinsky, L. S., et al. "Event Generators for Simulating Heavy Ion Interactions of Interest in Evaluating Risks in Human Spaceflight," *IEEE Aerospace Conference, Big Sky*, United States, 2005.